

TECHNIKA CIEPLNA

CZASOPISMO ZWIĄZKU STOWARZYSZEŃ DOZORU KOTŁÓW W POLSCE

REDAKTOR: Inż. techn. JAN KOMARNICKI.

Wydawca: Związek Stowarzyszeń Dozoru Kotłów w Polsce.

REDAKCJA I ADMINISTRACJA: WARSZAWA, PIUSA XI, 32, m. 6. TEL. 8-81-47.

GODZINY BIUROWE ADMINISTRACJI — CODZIENNE, OD 10 DO 15.

Dr. Inż. ROBERT SZEWAŁSKI,

ZAGADNIENIA ROZWOJOWE W BUDOWIE TURBIN PAROWYCH I TURBOSPREŻAREK.

(NA TLE WRAŻEŃ Z SZWAJCARSKICH I NIEMIECKICH ZAKŁADÓW PRZEMYSŁOWYCH).

Stało się u nas zwyczajem, że po powrocie z zagranicznych wycieczek naukowych omawia się na odczytach i na łamach prasy fachowej wrażenia dotyczące ciekawszych obiektów technicznych, tendencje rozwojowe przemysłu, nowe konstrukcje i metody warsztatowe. Zwyczaj i słuszny i pożyteczny, bo zaznajamia z faktami bądź nieraz zupełnie przemilczanymi na łamach prasy obcojęzycznej, bądź podawanymi w tej prasie albo w katalogach fabrycznych ze znacznym, nie-rzadko kilkuletnim opóźnieniem.

Jesienią ub. roku miałem możność spędzić dwa miesiące czasu w fabryce turbin parowych Zakładów Brown Boveri w Baden koło Zurychu. Przy tej sposobności zwiedziłem również, chociaż pobieżnie, dwie inne fabryki szwajcarskie: Zakłady Escher Wyss w Zurychu, wytwarzające przede wszystkim turbiny, parowe i wodne, oraz Zakłady Oerlikon pod Zurychem, o tym samym mniej więcej programie produkcji co Zakłady Brown Boveri, a więc z działem elektrycznym i mechanicznym, tylko w odpowiednio pomniejszonej skali. W drodze powrotnej przez Niemcy zwiedziłem ponadto piękną fabrykę turbin Siemens'a w Mühlheim (nad rzeką Ruhr), produkującą wyłącznie tylko turbiny parowe, a to według trzech systemów: osiowe typu Thyssen - Röder, promieniowe przeciwbieżne typu Ljungström oraz promieniowe własnej konstrukcji — wreszcie na zakończenie podróży zwiedziłem fabrykę turbin A. E. G. (Allgemeine Elektrizitäts Gesellschaft) w Berlinie. Wypada zauważyć, że fabryka A. E. G., której szczytowa produkcja roczna w okresie przedkryzysowym wynosiła około 700.000 kW, po gwałtownym spadku produkcji w latach następnych przekroczyła znów w r. 1936 1.000.000 kW, a w r. 1937 nawet 1.500.000 kW, wysuwając się tym samym na pierwsze miejsce na świecie przed fabryki amerykańskie: General Electric i Westinghouse.

Nie sposób opisać w tego rodzaju artykule wszystkich co najważniejszych nowości i szczegółów konstrukcyjnych. Postaram się zatem streścić na tym miejscu — w oparciu o konstrukcje firmy Brown Boveri, które poznałem najlepiej — ogólne tendencje i prace rozwojowe w dziedzinie turbin parowych i pokrewnych działów maszynowych.

Szwajcaria, bo o niej głównie będzie mowa, jest krajem wysoko uprzemysłowionym. Na równi z całą Europą odczuła dotkliwie skutki załamania się koniunktury i kryzysu. Ostatnio jednak wzmożła znów bardzo znacznie swą produkcję i zwłaszcza po przeprowadzonej niedawno dewaluacji franka wkroczyła ponownie jako groźny konkurent na rynki światowe. Tak np. Zakłady Brown Boveri osiągnęły stan zatrudnienia dorównujący niemal okresowi najwyższej koniunktury przed kryzysem światowym, a ostatnio przyjęte zamówienia są tak duże, że będą wymagały przypuszczalnie pracy ze zmianą nocną, do czego zresztą Szwajcarzy z różnych powodów bynajmniej się nie kwapią. Jako pewne novum zanotować należy w Zakładach Brown Boveri przesunięcie się środka ciężkości produkcji z działu elektrycznego do działu mechanicznego, a to w następstwie szeregu prac rozwojowych przedsięwziętych w okresie kryzysu, których wynikiem jest m. i. kocioł „Velox“ i inne jeszcze konstrukcje, o których mowa będzie później.

W tym miejscu muszę uczynić małą dygresję.

Ostatnio mówi się u nas o podjęciu nowych działań produkcji maszynowej, m. i. rozważa się też sprawę budowy turbin parowych w kraju. Podstawę wszelkich rozważań stanowi tu kwestia chłonności rynku krajowego. Dyskutuje się nad wielkością zapotrzebowania turbin w Polsce, boć na tym oprzeć się ma produkcja. Otóż stwierdzić trzeba, że szwajcarskie fabryki turbin nie posiadają zaplecza, rynku krajowego, który by przynajmniej w poważniejszym odsetku wchłaniał ich produkcję. Tak np. Zakłady Brown Boveri, których produkcja jest kilka-

krotnie większa od zapotrzebowania na turbiny całej Polski, dostarczyły w ciągu ostatnich lat czterech, według posiadanych przeze mnie wiadomości, tylko jednej turbiny na rynek szwajcarski, mianowicie do siłowni Laboratorium Maszynowego Politechniki w Zurychu. Cała produkcja w tym względzie Zakładów Brown Boveri, podobnie i innych fabryk szwajcarskich, idzie na eksport, głównie do krajów wysoko uprzemysłowionych, gdzie musi wytrzymać groźną konkurencję przede wszystkim ze strony fabryk krajowych. Do tego dochodzi jeszcze, że Szwajcaria, jak żaden inny kraj w Europie Zachodniej, pozbawiona jest wszelkich podstawowych surowców i musi je sprowadzać z zagranicy, z państw ościennych, oczywiście na gorszych warunkach, i to zarówno finansowo i jeśli chodzi o terminy. W tych warunkach nasuwa



Rys. 1. Schemat kanału łopatkowego.

się nieodparcie wniosek logiczny, że wyroby Zakładów Brown Boveri muszą posiadać walory techniczne wyrównujące w dużym stopniu te podstawowe braki, o których wyżej wspominałem.

Jak w żadnej innej fabryce podkreśla się tu tendencję do coraz większego udoskonalenia turbin, a przy tym do stworzenia nowych typów maszynowych, o odmiennym niż dotychczas wykorzystaniu energii paliw, które by mogły liczyć na nowe rynki zbytu. Ta praca rozwojowa opiera się z jednej strony, jak to bywa i w innych zakładach, o biura konstrukcyjne, z drugiej zaś o stacje próbne, które zostały w Zakładach Brown Boveri szeroko rozbudowane. Dość powiedzieć, że w okresie czasu sześcioletnim od 1931 do 1936 wydano na prace rozwojowe, a więc poza badaniami przeprowadzanymi systematycznie nad maszynami bieżącej produkcji, około miliona złotych. Ilość pracowników w stacjach próbnych jest również bardzo znaczna. Tak np. oddział próbny turbinowy zatrudniał za mojej bytności w Badeniu 27 inżynierów (z dyplomem).

Uczynię może najlepiej, jeżeli zatrzymam się dłużej nad opisem niektórych prac rozwojowych, gdyż one bodaj najlepiej charakteryzują tendencję fabryki i są zarazem mniej znane ogółowi. Zacznę od turbin, które stanowiły do niedawna jedyny, a dziś stanowią wciąż jeszcze najważniejszy obiekt produkcji fabryki.

Turbiny parowe.

Istnieją dwa cele zasadnicze, którym poświęca się tu starania. Pierwszy, to poprawa sprawności turbiny, drugi to zwiększenie pewności, niezawodności ruchu. Obok tych dwóch celów zawsze aktualne są kwestie materiałowe, m. i. w związku ze stosowaniem wysokich temperatur początkowych pary oraz dużej zawartości wilgoci w końcu ekspansji, oraz metody warsztatowe, ściślej mówiąc konstrukcyjno - warsztatowe, które by wpłynęły na potaniecie produkcji.

Sprawność turbin, mianowicie sprawność łopatkowa, dochodzi już dziś do bardzo wysokich wartości. Możliwe ulepszenia są zatem na tym polu niewielkie i wymagają dlatego właśnie bardzo precyzyjnych doświadczeń. Nie wystarczy dziś przy pomiarze sprawności łopatek, a więc przy pomiarze strat, operować szablonowym wzorem:

$$\omega_2 = \phi \sqrt{\omega_1^2 + 8380 h_w}$$

gdzie ω_1 i ω_2 są wartościami średnimi szybkości odniesionymi do przekrojów łopatki wlotowego i wylotowego (rys. 1) h_w adiabaticznym spadkiem ciepła w wirniku, a ϕ współczynnikiem szybkości względnej charakteryzującym liczbowo sumaryczne straty zachodzące przy przepływie pary przez łopatkę. Analizę strat rozбивa się na części, rozpatrując wszystkie po kolei czynniki jak kształt profilów łopatkowych, szerokość profilów i wielkość podziałów, gładkość powierzchni łopatek, wpływ drutów wzmacniających i bandaży na obwodzie łopatek, wpływ warstewki granicznej i t. p. Badania tego rodzaju przeprowadzane na łopatkach turbinowych są niezmiernie trudne, jeżeli nie zgoła niemożliwe. Trzeba sobie bowiem uprzytomnić, że łopatki wirują z dużą szybkością obwodową, a po drugie, że przy małych wymiarach kanałów łopatkowych wszelkie przyrządy pomiarowe wstawione w te kanały, jak rurki Pitot'a, sondy, termoelementy i t. p. musiałyby z konieczności fałszować wyniki pomiarów. Dziś korzysta się tu w szerokiej mierze z podobieństwa hydrodynamicznego i wykonuje się doświadczenia na modelach, najczęściej drewnianych, dużych stosunkowo rozmiarów i to przy pomocy czynnika chłodnego, powietrza, które sprawia mniej kłopotu niż gorąca para wodna, kondensująca się poza tym w czasie pomiaru w miejscach najmniej pożądanym. Korzysta się przy tym z pewnych zdobyczy aerodynamiki, przeprowadzając analogię pomiędzy łopatką turbinową odchylającą strumień pary w celu wywołania siły obwodowej, a nośną powierzchnią, t. zw. profilem skrzydła samolotu.

Aby można było z ruchu powietrza w modelu snuć wnioski o ruchu pary w rzeczywistym kanale łopatkowym muszą być zachowane pewne warunki pomiaru. Najważniejsze z nich to podobieństwo geometryczne profi-

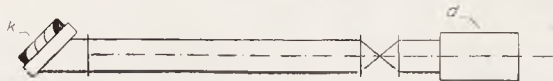
łów (łącznie z chropowatością ścian) oraz równość liczb Reynolds'a. Zgodnie z nowymi pojęciami fizyki przepływów uważa się przy tym ściankę za chropowatą względnie za gładką, jeżeli największe nierówności powierzchni są większe względnie mniejsze od grubości warstewki granicznej przepływającego czynnika. Warto zauważyć, że uzyskanie ścianki „aerodynamicznie gładkiej“ wymaga w konsekwencji o wiele dokładniejszej obróbki jej w sferze wysokich temperatur czynnika przepływającego aniżeli przy temperaturach niskich.

Wprowadzając indeksy „1“ i „2“ dla pary i powietrza, wyrażamy warunek równości liczby Reynolds'a równaniem:

$$\frac{l_1 \cdot c_1}{v_1} = \frac{l_2 \cdot c_2}{v_2},$$

a stąd wyliczamy skalę modelu:

$$m = \frac{l_2}{l_1} = \frac{v_2 \cdot c_1}{v_1 \cdot c_2},$$



Rys. 2. Zasadniczy układ urządzenia pomiarowego do badań modelowych nadłopatkami turbinowymi:
d — amuchawa, k — krata z łopatek.

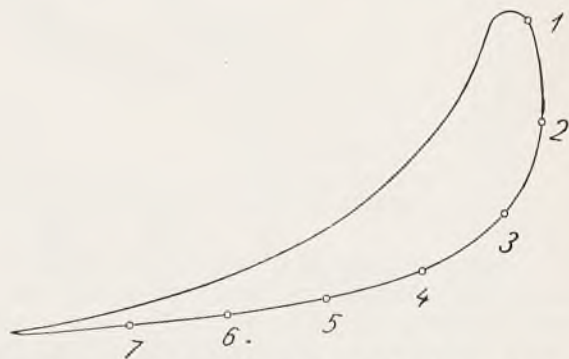
przy czym oznaczają: v — lepkość kinematyczną czynnika, c — jego szybkość, l — jakiś charakterystyczny wymiar liniowy kanału przepływowego.

Obecność lepkości kinematycznej w tym wzorze tłumaczy do pewnego stopnia, dlaczego dopiero obecnie zastosowano w budowie turbin parowych doświadczenia oparte na prawie podobieństwa hydrodynamicznego, choć stosowano je już dawniej z dużym powodzeniem czy to w lotnictwie czy też np. w budowie okrętów. Po prostu wartości lepkości kinematycznej (v) zostały dopiero przed niedawnym czasem pomierzone i opublikowane dla sfery wysokich ciśnień i temperatur pary¹⁾, przy niskich zaś ciśnieniach i modele wypadają za małe i analogie przepływów nie są tak doskonałe.

Otóż ciekawą jest rzeczą jakiej wielkości modele łopatkowe wchodzą praktycznie w rachubę. Tak np. dla powietrza (20° C i 735 mm Hg) jako czynnika pomiarowego i dla pary wodnej o parametrach: $p = 25 \text{ ata}$, $t = 400^\circ \text{ C}$ otrzymujemy: $m = 11$. Jeżeli zatem: $l_1 = 20 \text{ mm}$ (poniżej tej wartości nie schodzi się przy tych parametrach pary), to: $l_2 = 220 \text{ mm}$, a odpowiednio duże są też szerokość profilu, podział i t. d. W ogóle im wyższe ciśnienie pary, tym większa skala (m) modelu. Dla pa-

rametrów: $p = 100 \text{ ata}$ i $t = 500^\circ \text{ C}$ wypada: $m = 33!$

W tej skali można już myśleć o pomiarze wielkości charakterystycznych pary, ciśnienia i szybkości, bez fałszowania wyników pomiaru przez przyrządy. Urządzenie pomiarowe składa się w zasadzie z obszernego kanału powietrznego (rys. 2.) zasilanego z jednej strony powietrzem z dmuchawy. Na drugim końcu kanału znajduje się t. zw. krata, to est segment łopatek, uchwycony w szyny, a przytwierdzony do części przejściowej kanału, której celem jest takie nakierowanie równoległego strumienia powietrza, aby wszystkie łopatki były równo i jednakowo zasilane. Przed i za segmentem łopatek znajdują się rur-



Rys. 3. Rozmieszczenie punktów pomiarowych wzdłuż profilu łopatkowego.

ki spiętrzające połączone ze wspólnym instrumentem rejestrującym różnice ciśnień. Bardzo delikatne sondy kierunkowe ($\varnothing = 2 \text{ mm}$) pozwalają ustalić dokładnie kierunek przepływu. Z różnicy ciśnień Δp obu rurek spiętrzających można obliczyć całkowitą stratę energii w łopatkach. Niezależnie od tego — i to jest właśnie charakterystyczne dla badań modelowych — mierzy się wzdłuż powierzchni łopatek, zarówno po wypukłej jak i po wklęsłej ich stronie, ciśnienia statyczne za pomocą układu cienkich rurek wpuszczonych w ścianę łopatki i zakończonych otworkiem w odpowiednim miejscu na powierzchni (rys. 3.). Te pomiary pozwalają zdać sobie sprawę z przebiegu ciśnień w kanałach łopatkowych. Ponieważ zadaniem łopatki jest wytworzenie siły obwodowej, przeto ciśnienie pary musi być — średnio wzdłuż profilu łopatkowego — wyższe po stronie wklęsłej niż po wypukłej. Jeżeli zachodzi pewna różnica ciśnień przed i za łopatką (reakcyjność), to spadek ciśnienia po stronie wypukłej (grzbietowej) powinien być raczej szybki, powolny zaś po stronie wklęsłej.

$$P = k \cdot B \cdot \rho_0^2)$$

Wypadek przedstawiony na rys. 4 a jest korzystny, wypadek 4 b nim nie jest. Za daleko doprowadzona ekspansja po stronie wy-

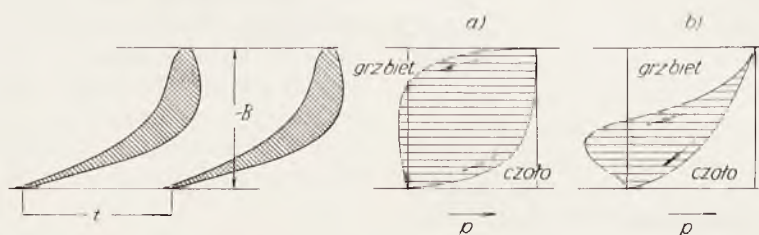
¹⁾ Schiller, Forschung a. d. Gebiete d. Ingenieurwesens 1934, str. 171.

Sigwart, Forschung a. d. Gebiete d. Ingenieurwesens 1936, str. 125.

²⁾ Siła obwodowa odpowiada powierzchni zakreskowanej na rys. 4.

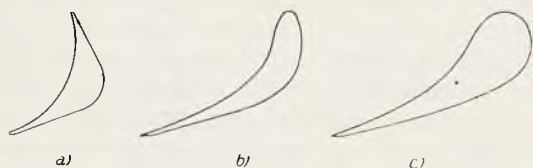
pukłej jest niekorzystna, gdyż w czasie następującej z konieczności po ekspanzji kompresji może się strumień pary oderwać od ścianki, a wtedy tworzą się wiry, które są walną przyczyną strat przy przepływie przez łopatki. Wypada tu zaznaczyć, że straty skutkiem tarcia są na ogół bardzo nieznaczne; wynoszą około $1\frac{1}{2}\%$ dla prędkości, około 3% dla energii przepływającej pary. Duże natomiast są straty skutkiem wirów. Pod tym względem trzeba różne profile poddawać badaniu. Które profile łopatkowe są lepsze, a które gorsze, wyka-

bezpieczne³⁾. Jeszcze gorzej przedstawia się oczywiście ta sprawa w kanałach łopatkowych sprężarek, gdzie za łopatką panuje wyższe ciśnienie aniżeli przed łopatką. To też straty przy przepływie czynnika przez łopatkę sprężarki, co jest powszechnie wiadome, są jeszcze większe niż w turbinach. Jeśli tedy nie można w pewnych wypadkach uniknąć kompresji czynnika wzdłuż ścianek łopatkowych, to powinno się ją przynajmniej ograniczyć do pewnej wielkości na bieżącą jednostkę długości profilu.



Rys. 4. Przebieg ciśnień wzdłuż profilu łopatkowego:
a) korzystny przebieg ciśnień: szybka ekspanzja wzdłuż grzbietu, wolna wzdłuż czoła łopatki, b) niekorzystny przebieg ciśnień: znaczna depresja po stronie grzbietowej.

zuje ostatecznie doświadczenie. Ale wiele można już przewidzieć rachunkiem, jeżeli uprzytomnić sobie rolę, jaką odgrywa w tym zagadnieniu warstewka graniczna Prandtl'a. Ona jest głównie przyczyną odrywania się strumienia pary od ścianki, a tym samym powstawania szkodliwych wirów. Inaczej zachowuje się tu warstewka o przepływie uwarstwionym (laminarnym), inaczej o przepływie burzliwym. Rachunkowe badanie profili polega właśnie na wycechowaniu ich krytycznymi wartościami liczby Reynolds'a, przy których zachodzi zmiana charakteru przepływu warstewki granicznej z uwarstwowionego w burz-



Rys. 5. Charakterystyczne reakcyjne profile łopatkowe:
a) pierwotny profil reakcyjny, b) profil unowocześniony, c) profil kropłowy (aerodynamiczny).

liwy. Z tego można wyciągać dość daleko idące wnioski.

Jakkolwiek rachunek ten jest ogromnie interesujący, to jednak zaprowadziłby on nas tutaj za daleko. Wypada natomiast stwierdzić przy tej okazji, że sprawność łopatek reakcyjnych jest w równych zresztą warunkach mniej doskonała od sprawności łopatek reakcyjnych. Bo skoro niema spadku ciśnienia w łopacie, to różnicy ciśnień po obu stronach łopatki, nieodzownej dla wytworzenia siły obwodowej, nie można w ogóle wywołać bez kompresji pary, a to może być właśnie nie-

Na zakończenie przedstawię kilka dość dowolnie zresztą wybranych profili łopatkowych (reakcyjnych), charakteryzujących panujące w tej dziedzinie tendencje (rys. 5).

Sprawność łopatkowa nowoczesnych profili, reakcyjnych, wyekstrapolowana na szczelinę równą zero, obraca się w sferze wzwyż 93%! Przy tym dopuszczają te profile stosowanie zwiększonych podziałów, redukując zatem ilość łopatek na obwodzie koła turbiny, a w dalszym ciągu koszt budowy turbiny.

Przedstawiłem tu w bardzo krótkim zarysie nowe prądy panujące w dziale teorii turbin zajmującym się projektowaniem łopatek. Prądy te nawiązują do ogólnych prawideł fizyki przepływów, a w szczególności do aerodynamiki, i wymagają od specjalisty turbiny, konstruktora, nowego podejścia do tych zagadnień, ze znajomością aerodynamiki.

Podobne doświadczenia na modelach jak w Zakładach Brown Boveri wykonuje się też w fabryce Escher Wyss, gdzie impuls do tych badań dał profesor Politechniki w Zurychu Dr Ackeret, były asystent Prof. Prandtl'a w Getyndze. Pomiary przeprowadzone tu na modelach łopatek blaszanych (stary patent f-my Escher Wyss) wykazały duże straty tego systemu i doprowadziły do zarzucenia tej konstrukcji na rzecz łopatek profilowanych, całkowicie obrabianych. (D. c. n.)

³⁾ Podkreślenie tego faktu nie przesądza oczywiście w niczym o przydatności w budowie turbin systemu akcyjnego czy reakcyjnego. Obydwa systemy mają swoje zalety i wady. Wzgląd na osiągalną sprawność łopatkową przemawia na korzyść łopatki reakcyjnej.

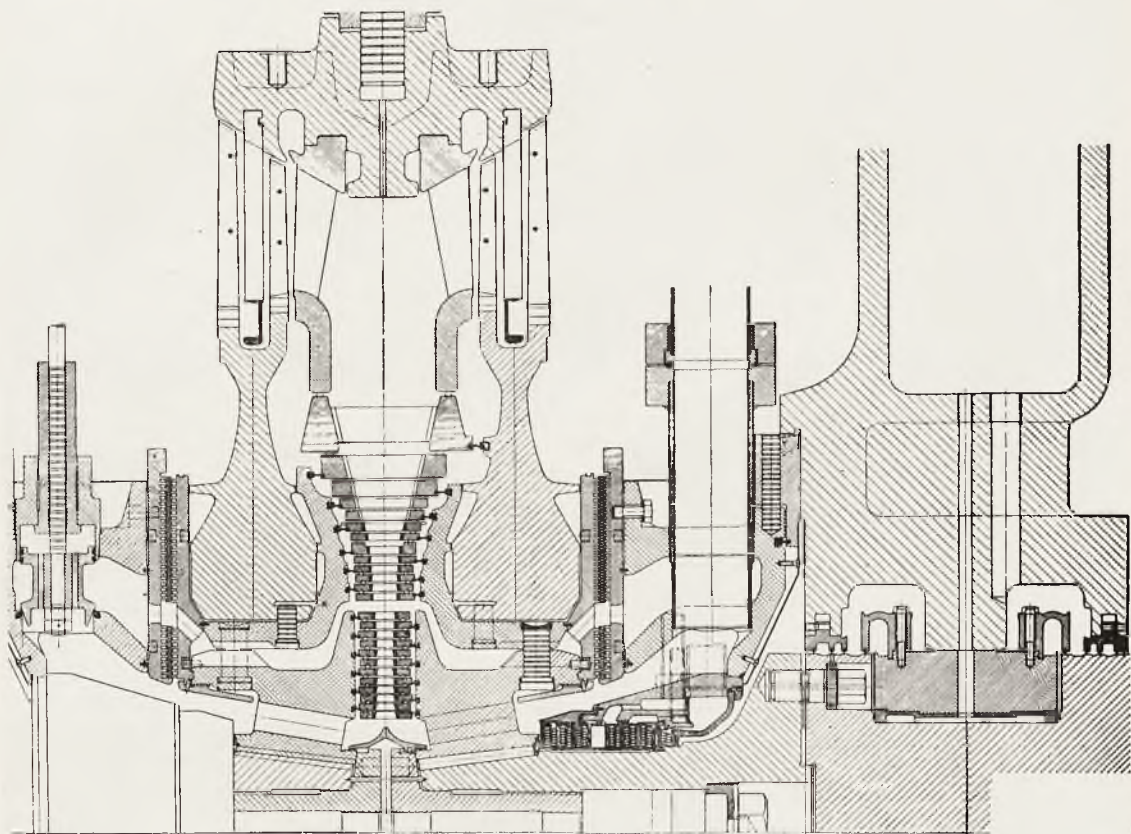
WIESŁAW CHRZANOWSKI, Prof., Dr. inż.

OBECNIE DOMINUJĄCE KIERUNKI W BUDOWIE TURBIN PAROWYCH.

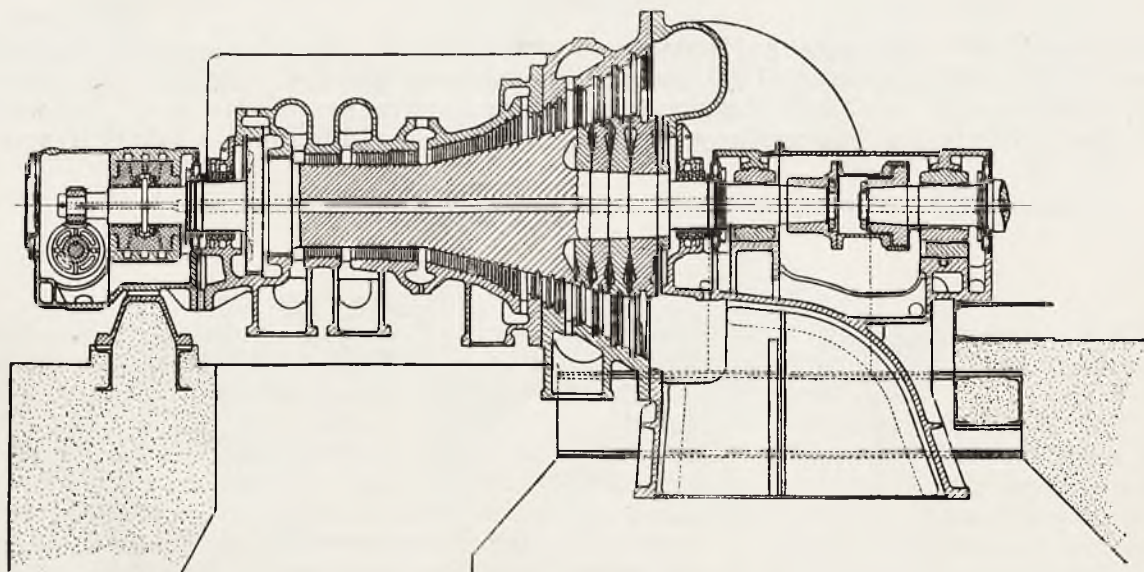
(Por. *Technika Ciepłna*, 1938, str. 73).

Fabryka *M. A. N.* w Norymberdze buduje tak wielostopniowe osiowe turbiny akcyjne jak i promieniowe przeciwbieżne systemu Ljungstroema, bo należy do przodujących firm w Tow. „*Illunion*”. Z materiałów sta-

wionych do mej dyspozycji wynika, że firma *M. A. N.* zaleca system osiowy przeważnie jako silniki o mniejszej mocy i jako upustowe, pracujące z pobieraniem pary do celów fabrykacyjnych i grzejnych, natomiast jedno-



Rys. 26

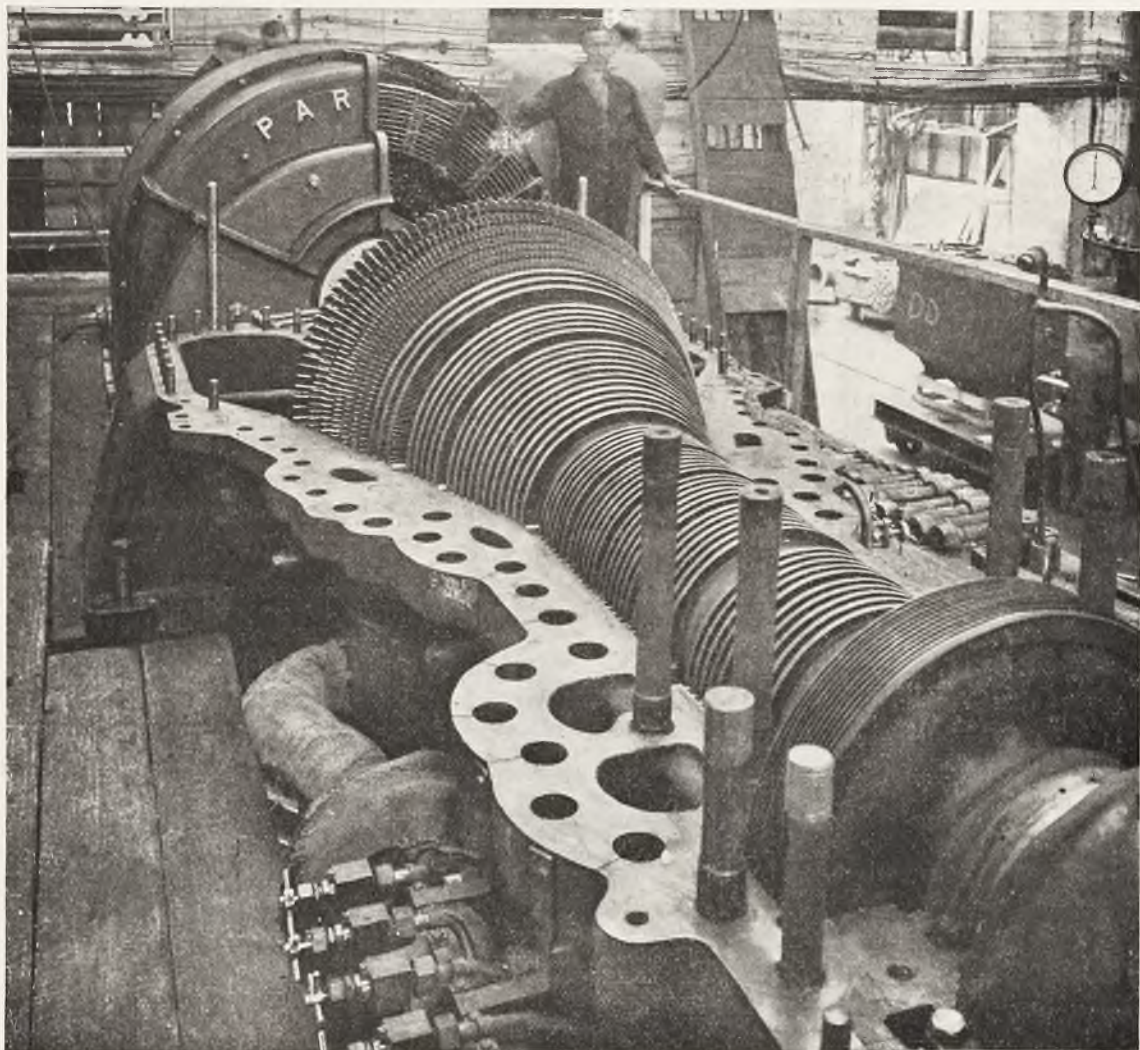


Rys. 27

kadłubowy typ promieniowy przeważnie jako turbinę kondensacyjną o większej mocy i turbinę przeciwpnę, zwłaszcza przy bardzo wysokim ciśnieniu pary dołotowej.

Na rys. 26 widzimy promieniową turbinę przeciwbieżną budowy *M. A. N.* o mocy

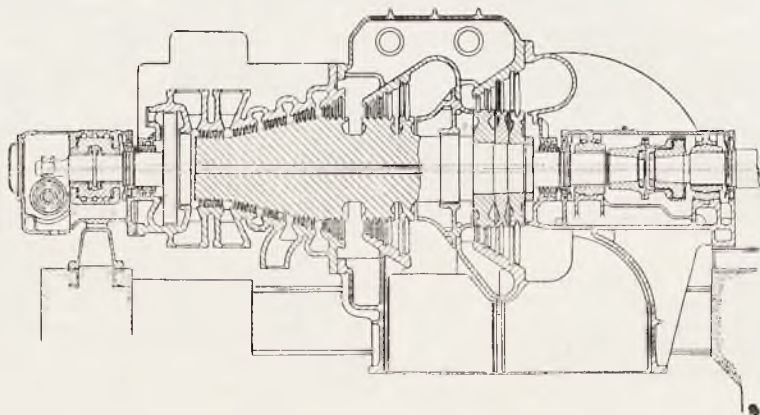
częście parą o dwóch różnych ciśnieniach, mianowicie o ciśnieniu $40,5 \text{ atn}$ i z niskopiężnych kotłach o ciśnieniu $11,5 \text{ atn}$ i temperaturze 330° C , lecz konstrukcyjne wykonanie tego zagadnienia nie wynika z rysunku. Liczba promieniowych wieńców łopatkowych



Rys. 28

największej 25.600 kW (moc najekonomiczniejsza 20.000 kW) przy $n = 3.000 \text{ obr/min}$ dla $p_1 = 40,5 \text{ atn}$, $t_1 = 475^\circ \text{ C}$ i temperatury wody 15° C . Silnik ten jest zasilany równo-

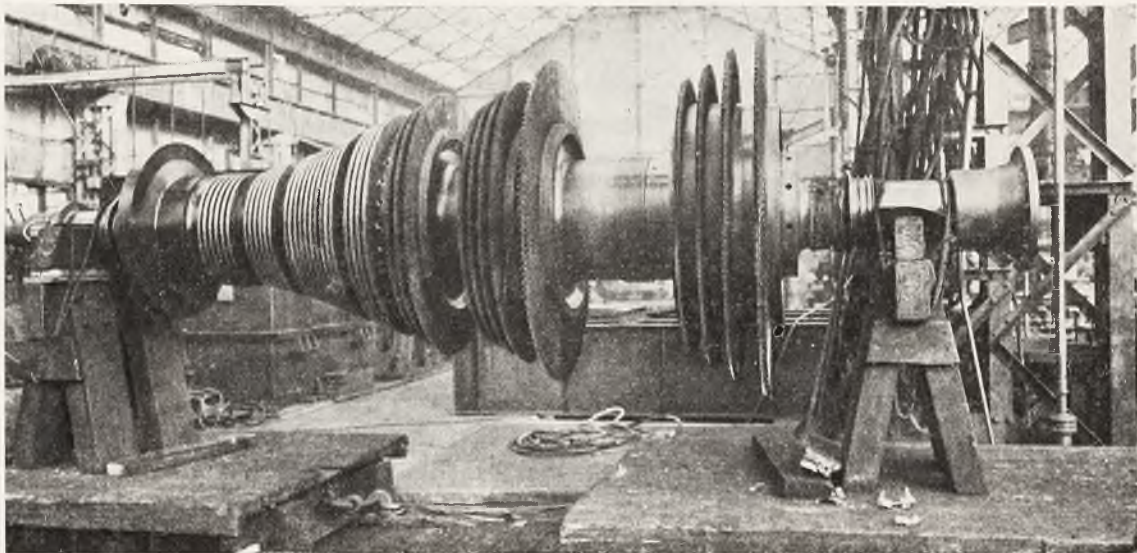
wynosi 25, po których następują dwa osiowe podzielone stopnie ciśnienia o przeciwnym kierunku przepływu pary. Ze względu na uzyskanie dostatecznie dużych wolnych



Rys. 29

przekrojów przepływowych przy korzystnym stosunku długości łopatki do średnicy wirnika, posiadają stopnie osiowe znacznie większą średnicę od ostatniego wieńca promieniowych łopatek. Nadmienić by jeszcze należało, że za kierownicami pierwszego stopnia

Natomiast przy niższym ciśnieniu pary dolutowej używa ta wytwórnia począwszy od 3.000 kW systemu czysto reakcyjnego, który przy wyższym ciśnieniu dolutowym może być wykonany jako jednokadłubowy o mocy aż do 30.000 kW. Na rys. 27 widzimy turbinę

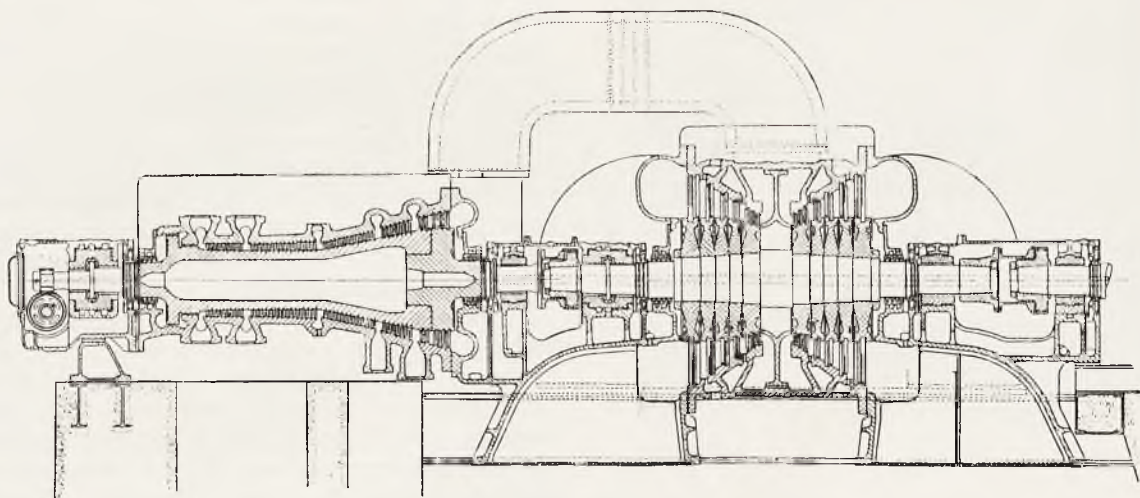


Rys. 30

osiowego znajdują się kanały do odprowadzenia wody wydzielonej z pary, oraz że ostatnie wieńce łopatek kierowniczych posiadają uszczelnienie grzebieniaste na możliwie zmniejszonej średnicy.

Najstarsza fabryka turbin parowych *Par-*

sonds kondensacyjną o mocy największej 27.500 kW przy $n = 3.000 \text{ obr/min}$ dla $p_1 = 27,2 \text{ atn}$ i $t = 392^\circ \text{ C}$, a na rys. 28 fotografię takiego typu. Szczególną uwagę zwracają tutaj rozcięcia kołnierza kadłuba od zewnątrz aż do otworów na śruby, co według twierdzenia firmy



Rys. 31

sons i Comp. w Newcastle - Upon - Tyne stara się również opanować możliwie największą moc w możliwie małej liczbie kadłubów przy $n=3.000 \text{ obr/min}$. W obrębie od 3.000 kW do 6.000 kW stosuje *Parsons* przy wyższych ciśnieniach pary dolutowej bezprzekładniowy typ, składający się z koła Curtis'a, kilku kół akcyjnych i wielostopniowej części reakcyjnej, aby otrzymać w pierwszych wieńcach reakcyjnych łopatki o dostatecznej długości.

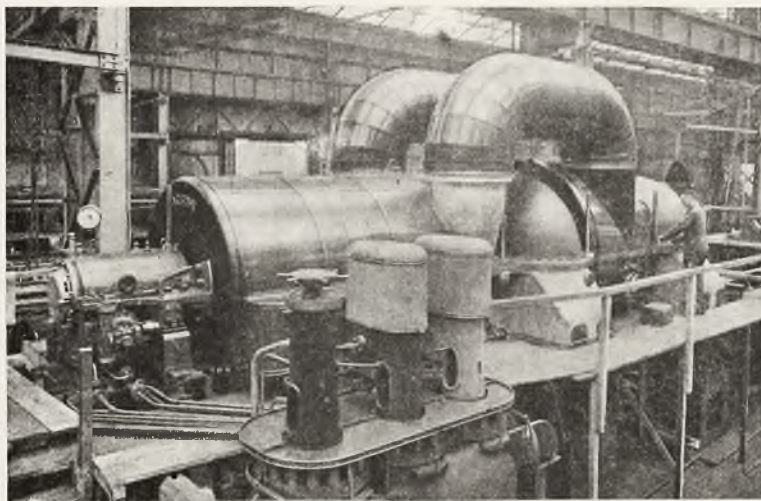
Parsons przeciwdziała skutecznie przy bardzo wysokiej temperaturze pary odkształceniom kadłuba turbiny.

W przeciwstawieniu do konstrukcji na kontynencie europejskim *Parsons* używa małych szczelin osiowych, a większych promieniowych. Wytwórnia ta i inne fabryki turbin parowych w Anglii stoją bowiem na stanowisku, że przy większych szczelinach osiowych zużycie pary jest większe, oraz że przy

małych szczelinach osiowych łatwiej można szybko uruchomić turbinę nawet dwukadłubową niż przy małych szczelinach promieniowych.

Przy niższym ciśnieniu pary dolotowej i zarazem niższej jej temperaturze, lub też

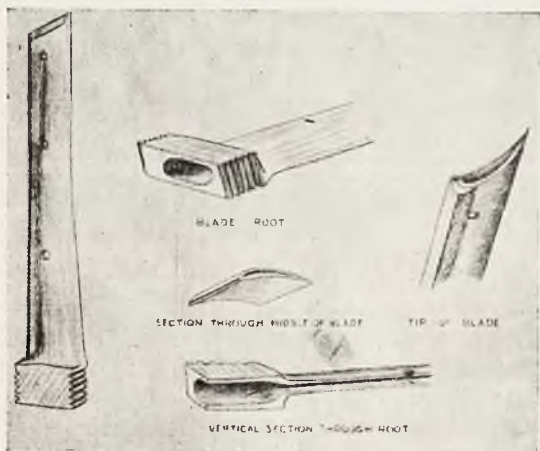
przepływu pary, a ciśnienia stosowane dochodzą do $p_1 = 41 \text{ atn}$ i $t_1 = 475^\circ \text{ C}$, próżnia przy 40.000 kW do $p_4 = 0,015 \text{ ata}$, podgrzewanie wody zasilającej do 172° C . Ze względu na wysoką temperaturę pary dolotowej zwraca się szczególną uwagę na symetryczne



Rys. 32

przy większej mocy powyższy typ jednokadłubowy otrzymuje w ostatnich stopniach ciśnienia dwustrumieniowy przepływ, jak to wynika z rys. 29. Konstrukcja tego rodzaju, wykonana już dla mocy 30.000 kW przy $p_1 = 27,2 \text{ atn}$ i $t_1 = 425^\circ \text{ C}$, $p_4 = 0,05 \text{ ata}$ (podgrzewanie wody zasilającej do 145° C)

kształty kadłuba wysokoprężnego, z którego pobiera się parę w kilku miejscach do podgrzewania wody zasilającej kotły, jak również wykonywa się bęben wewnątrz pusty odkuty, aby mieć pewność o jednolitości materiału. Zewnętrzny widok tego typu dwukadłubowego przedstawia rys. 32.



Rys. 33

jest oczywiście więcej skomplikowana, lecz w systemie reakcyjnym przy wyżej podanych warunkach pracy konieczna ze względu na uzyskanie dobrej sprawności, a posiada oprócz tego nie zbyt duże naprężenia w łopatkach. Zewnętrzny widok wirnika tego typu przedstawia rys. 30.

W obrębie mocy od 20.000 kW do 50.000 kW firma *Parsons* wykonywa przy $n = 3.000 \text{ obr/min}$ dwukadłubowe kondensacyjne turbiny reakcyjne (rys. 31), w których cylinder niskoprężny posiada dwukierunkowy

Celem zmniejszenia naprężeń w długich łopatkach wirnikowych niskoprężnej części firma *Parsons* walcuje je wewnątrz puste (rys. 33), a celem zmniejszenia zniszczenia ich przez erozję (rys. 34 a) — przypawa na krawędziach wlotowych listewki z materiału o bardzo dużej twardości (rys. 34 b), co oczywiście wpływa w pewnej mierze niekorzystnie na przepływ pary. Praktyczne korzyści takiej konstrukcji są jednak niewątpliwie znacznie większe od strat spowodowanych zmniejszeniem sprawności turbiny.

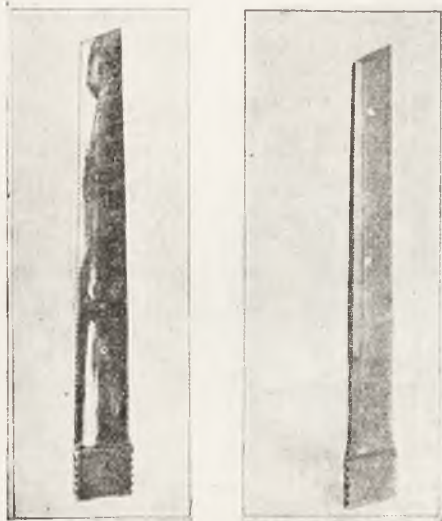
Firma *Siemens* buduje kondensacyjne turbiny parowe tak jako osiowe jak i promieniowe typu *Ljungstroema*. Turbiny *Siemens'a* promieniowo - przeciwbieżne są takiej samej budowy jak firmy *M. A. N.*, której konstrukcję widzieliśmy na rys. 26, bo obiedwie wytwórnie należą do Tow. „*Illunion*“. Turbiny osiowe *Siemens'a* składają się również z koła *Curtis'a* i wielostopniowej turbiny reakcyjnej, skutkiem czego liczba stopni, a zatem długość turbiny, ze względu na wymaganą dużą liczbę *Parsons'a* podobnie jak w turbinach fabryki *B. B. C.*, wypada większa niż w turbinach akcyjnych, lub też przeważnie akcyjnych. Firma *Siemens* stara się jednak od szeregu lat ograniczyć liczbę kadłubów, stosując w cylindrze wysokoprężnym zawsze tłok odciażający.

Typ jednokadłubowy *Siemens'a*, stosowa-

ny przy $n = 3.000 \text{ obr/min}$, o mocy aż do 20.000 kW przy jednostrumieniowym przepływie pary, zmienił w ostatnich latach swą budowę. Obecnie nie używa się już przysrabowanych tarcz wirnikowych w części niskoprężnej, tylko ostatnia tarcza z rozszerzonym

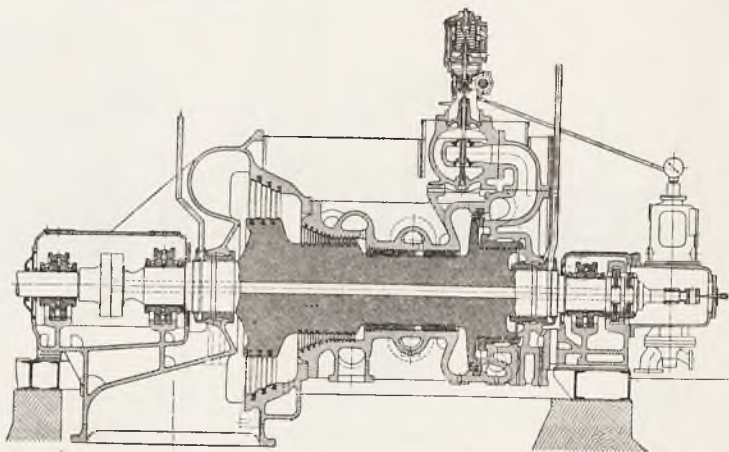
czyli jest to turbogenerator o największej mocy przy $n = 3.000 \text{ obr/min}$, pracujący od szeregu lat. Ostatnią turbinę budowano by obecnie już jako dwukadłubową.

S. A. *Siemens* stosuje przy dużej prędkości obwodowej w ostatnim wieńcu kierowniczym



Rys. 34a

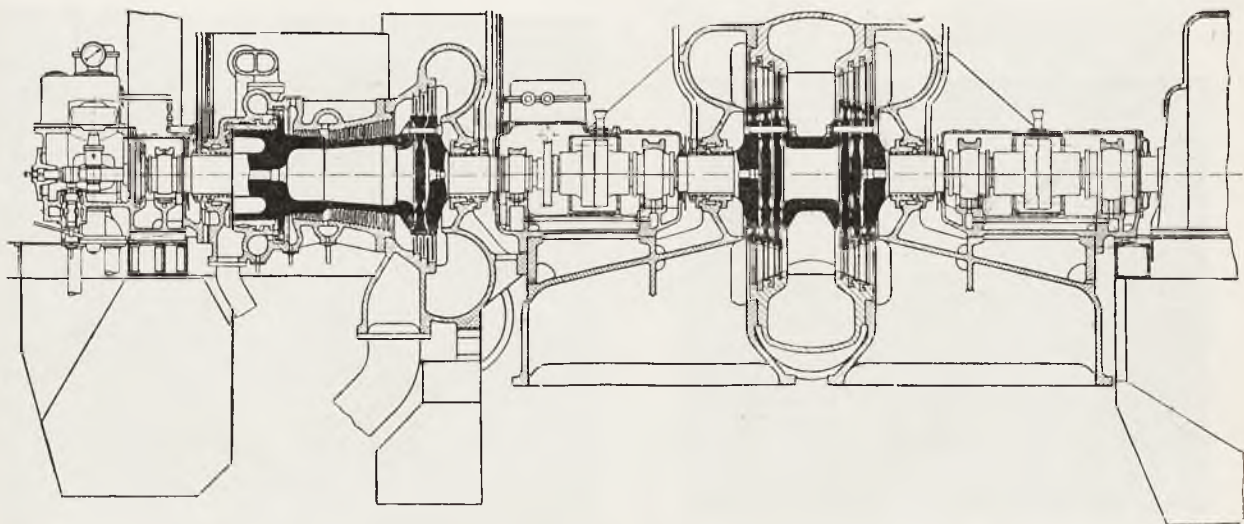
Rys. 34b



Rys. 35

wieńcem tworzy jedną całość z pełnym bębnem (rys. 35). *Siemens* stoi bowiem na stanowisku, że nowoczesne urządzenia w hutach zapewniają dobre przekucie bloku o tak dużej średnicy, a osiąga się przez to znaczne uproszczenie budowy i większą niezawodność ru-

dokładki z kanałem odwadniającym patentu *Hake* (rys. 38). Kanał ten jest przedłużony ponad wieńiec wirnikowy, który musi otrzymać krótsze łopatki. Ponieważ w turbinie osiowej woda odrzucana jest na zewnątrz, przeto mam wrażenie, że podobny skutek osiągnę-



Rys. 36

chu. W planie łopatkowym tej turbiny widoczne są dwa uskoki w części reakcyjnej, powodujące straty, wylotowe i wywołane wirami. W danym wypadku konstruktor stosuje w tych miejscach pobieranie pary, względnie odprowadzenie wody przed częścią niskoprężną.

Typ dwukadłubowy *Siemens'a* uwidoczniiony na rys. 36, wykonano już dla mocy 34.000 kW , a typ trójkadłubowy (rys. 37) dla mocy 60.000 kW przy $n = 3.000 \text{ obr/min}$,

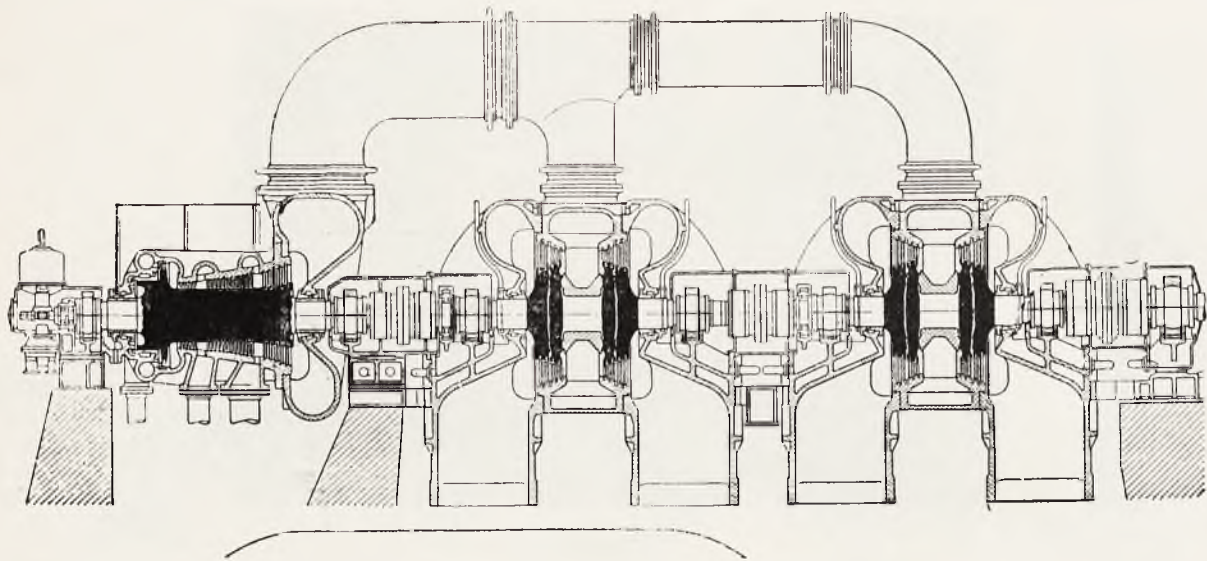
nęło by się, wykonywując tylko łopatki wirnikowe ostatniego wieńca obcięte na zewnętrznym obwodzie, co już przed kilku laty było projektowane.

Jak z górnej krzywej rys. 39 wynika, zniszczenie przez erozję postępuje szybko w ciągu pierwszych 10.000 godzin pracy, następnie po wbudowaniu przyrządu *Hake'go* przyrost straty powierzchni jest znacznie mniejszy. Przy zastosowaniu przyrządu *Hake'go* od początku pracy turbiny strata po-

wierzchni postępuje według dolnej krzywej, czyli jest bardzo zredukowana.

Zakłady Skody w Pilźnie, wykonywujące osiowe wielostopniowe turbiny akcyjny ze stopniem regulacyjnym, stosują w jednokadłubowych typach kondensacyjnych o du-

pień regulacyjny i kilkanaście stopni akcyjnych. W zasadzie firma ta dąży do budowy turbin jednokadłubowych dla możliwie dużej mocy. Na rys. 41 widzimy turbinę o mocy 14.000 kW przy $n = 3.000 \text{ obr/min}$, napędzającą za pomocą przekładni zębatej wyko-

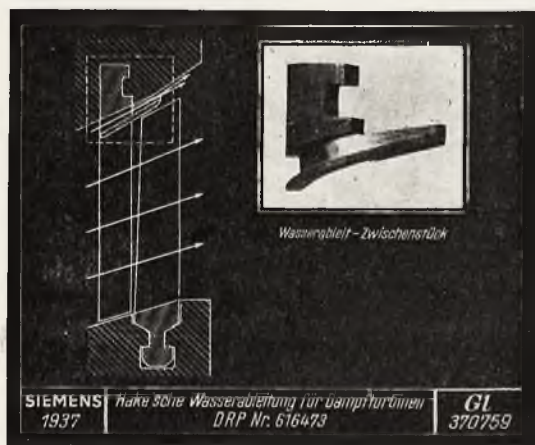


Rys. 37

żej mocy (około 20.000 kW) przy $n = 3.000 \text{ obr/min}$, dwustrumieniowy przepływ pary w ostatnim stopniu ciśnienia (rys. 40). Oczywiście takie rozwiązanie komplikuje budowę kadłuba, lecz zmniejsza naprężenia w łopatkach ostatniego wieńca, a może także zmniejszyć zniszczenie przez erozję wobec mniejszej prędkości obwodowej łopatek.

nania Kruppa generator z liczbą obrotów $n = 1.500$ na minutę.

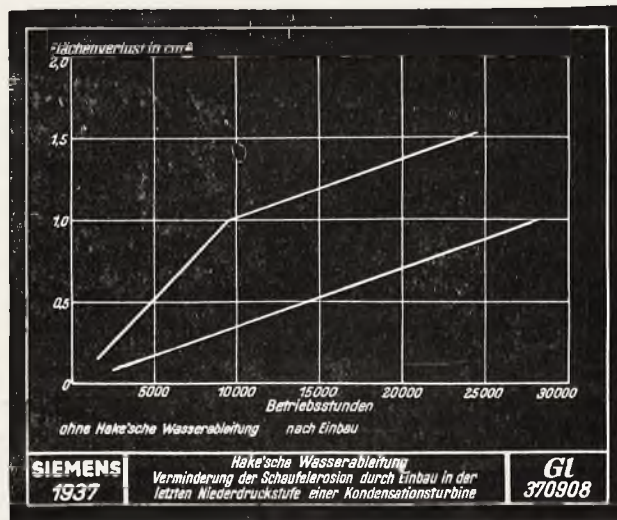
Dla mocy większej stosuje Wumag, zdaje się jeszcze obecnie turbiny dwukadłubowe, w których cylinder niskoprężny posiada czterostumieniowy przepływ pary, np. rys 42



Rys. 38

Fabryka ta posiada już od kilku lat w ruchu w Trzebowicach turbinę trójkadłubową o mocy 21.000 kW, zbudowaną dla $p_1 = 125 \text{ atn}$, $t_1 = 480^\circ \text{ C}$, woda chłodząca 25° C , w której cylinder niskoprężny posiada przepływ pary podobny do konstrukcji rys. 40. Jak wielką moc firma Skoda osiąga obecnie w turbinach jedno - i dwukadłubowych przy $n = 3.000 \text{ obr/min}$, nie wynika z materiału otrzymanego przeze mnie.

Turbiny fabryki Wumag posiadają sto-



Rys. 39

przedstawia turbinę o mocy 45.000 kW przy $n = 3.000 \text{ obr/min}$ i próżni 96%. Budowa cylindra niskoprężnego jest bez wątpienia bardzo skomplikowana, lecz w łopatkach wirnikowych osiąga się mniejsze naprężenia i mniejsze zniszczenie przez erozję.

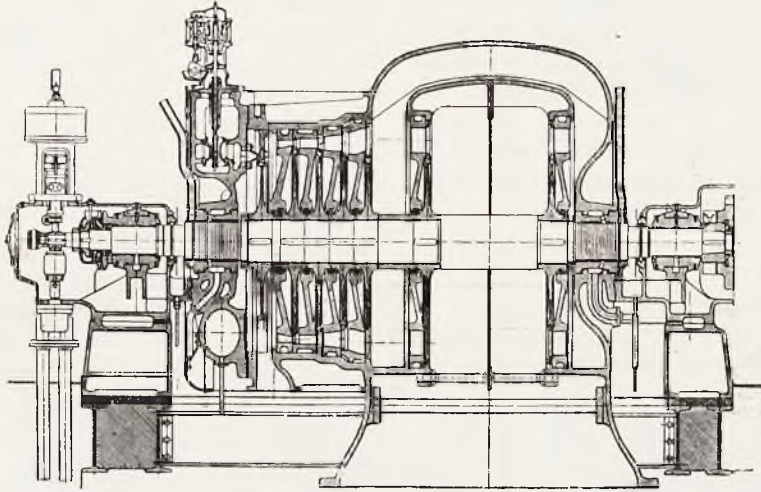
* * *

Z powyższego przeglądu typów kondensacyjnych turbin parowych wynika, że większość wytwórni dąży do możliwego potanie-

nia i uproszczenia budowy przez opanowywanie największych mocy przy $n = 3.000$ obr/min, mianowicie aż do 45.000 kW w jednokadłubowych, a aż do 80.000 kW w dwukadłubowych typach. Jak zaznaczyłem, pomiary odbiorcze nie udowodniły jeszcze poda-

z powodu dużej wilgotności pary w części niskoprężnej.

Również praktyka jeszcze nie udowodniła niezawodności ruchu tych typów turbin o bardzo dużej mocy przy wysokim ciśnieniu i bardzo wysokiej temperaturze pary dolotowej,

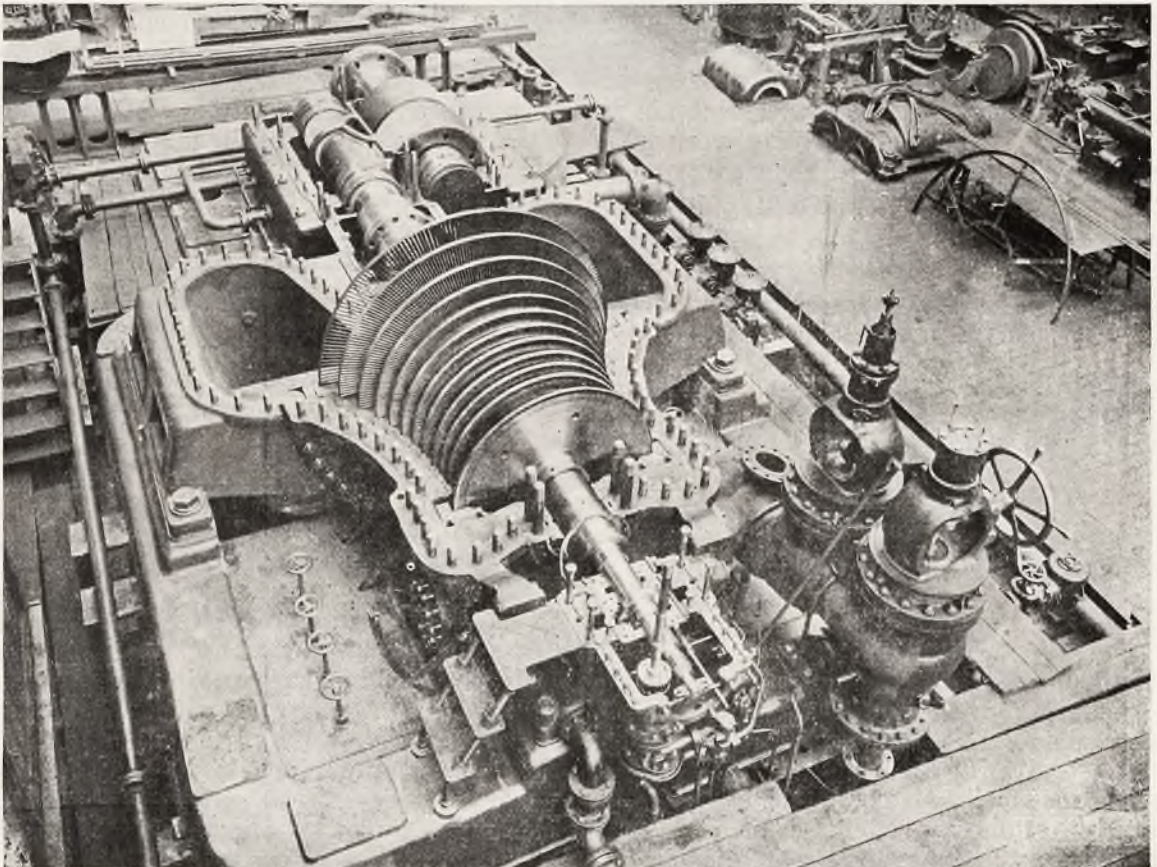


Rys. 40

wanej wysokiej sprawności tych typów o bardzo dużej mocy. Wątpliwości w tym względzie mogłyby nasuwać:

może niedostatecznie duża liczba jakościowa Parsons'a, w niektórych konstrukcjach zbyt wysoka prędkość pary o wysokim ciśnieniu, z konieczności dość duża strata wylotowa i poważne straty sprawności turbiny

posiadających stosunkowo krótką budowę. Przy ostatniej wirniki posiadają duże średnice, różnica temperatur po stronie wysoko — i niskoprężnej kadłuba turbiny jest bardzo duża, przez co mogą powstawać duże naprężenia. W końcu, przy bardzo wysokim ciśnieniu pary dolotowej panuje w części niskoprężnej bardzo duża wilgotność, która przy



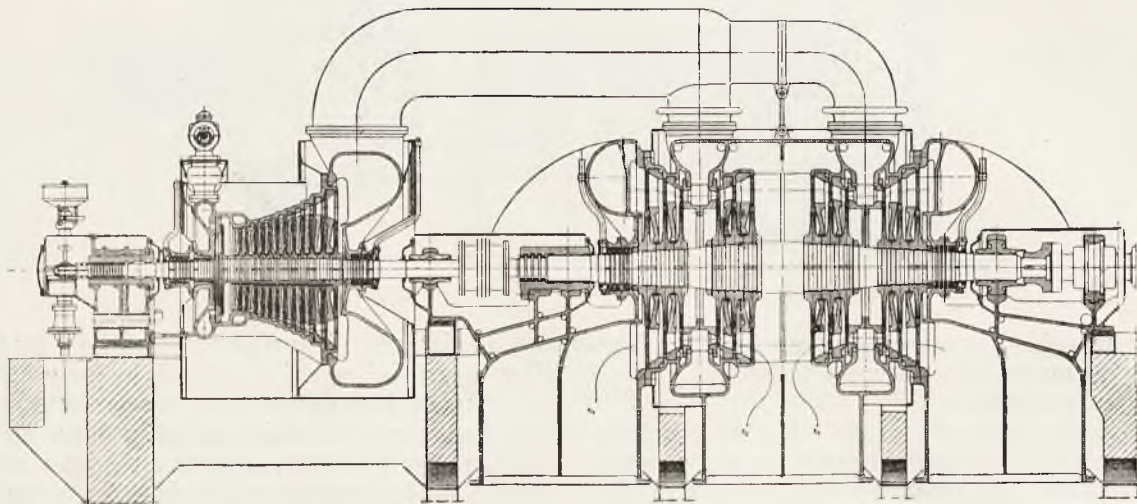
Rys. 41

dużej prędkości obwodowej wirników może w krótkim czasie niszczyć łopatki przez erozję, powodując konieczność ich częstej wymiany.

Dzisiaj propaguje się stosowanie ciśnień powyżej 100 *atn* i temperatur do 500° C, co wymaga stosowania podwójnego przegrzewania pary. Natomiast praktyka nie udowodniła bynajmniej jeszcze, czy instalacje te w ruchu rzeczywistym, w którym koszty utrzymania muszą być również uwzględniane, okażą się bezsprzecznie tańsze od instalacji pracujących z ciśnieniem kotłowym około 40 *atn*. Z tej przyczyny radziłbym w naszych warunkach dla turbin kondensacyjnych nawet

Liczba obrotów wału turbiny wynosi $n = 12000$ do 6000 *obr/min*, a przeważnie wykonywa się kilkostopniową turbinę akcyjną z kołem Curtis'a jako stopniem regulacyjnym.

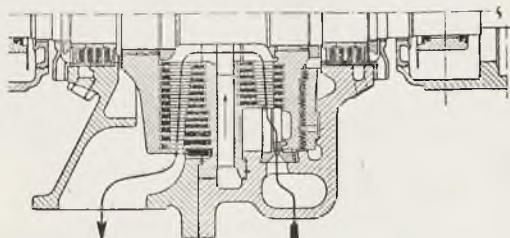
Pod względem niezawodności pracy turbogenerator z przekładnią zębatą daje dobre wyniki, jeżeli przekładnia zębata została wykonana solidnie i z nadzwyczajną precyzyjnością, a cały turbogenerator — (po stronie wysokoprężnej dopuszczalne oddzielne podparcie) — spoczywa na dostatecznie silnej ramie fundamentowej przy zastosowaniu odpowiednich sprzęgieł dla połączeń wałów. W przeciwnym razie można jeszcze dziś doznać



Rys. 42

o wielkiej mocy na razie nie stosować wyższych ciśnień kotłowych od 40 *atn* przy 450° do 475° C (za przegrzewaczem), przez co powinno się unikać nadmiernego niszczenia łopatek przez erozję. Przed decyzją w sprawie typu jedno — lub dwukadłubowego trzeba oczywiście wyjaśnić wątpliwości poprzednio wspomniane.

II. Turbiny kondensacyjne pracujące z $n > 3000$ *obr/min* i z przekładnią zębatą.



Rys. 43

Typ powyższy stosuje się ze względu na zmniejszenie kosztów budowy przy $p_1 = 19$ przy wodzie chłodzącej o 15° C, a aż do 1500 *kW* przy $t_1 = 375^\circ$ C o mocy aż do 2500 *kW* przy wodzie o 27° C. Oczywiście przy wyższych ciśnieniach i temperaturach pary dółowej moc maksymalna zwiększa się odpowiednio, przy niższych — zmniejsza się.

bardzo nie miłych rozczarowań z turbogeneratorami tego rodzaju. Nadmieniam, że fabrykacja dobrych przekładni zębatych wymaga specjalnych urządzeń i wyjątkowej staranności w przeprowadzaniu kontroli. Wymagania stawiane w stosunku do pracy przekładni zębatej są bowiem teraz bardzo duże. Oprócz bezwzględnej niezawodności stawia się warunek, że szmery, hałas i tony przekładni nie powinny utrudniać osobom w pobliżu niej stojącym swobodne rozmawianie. W turbinach z przekładnią zębatą trzeba też zwrócić baczną uwagę na prawidłową gospodarkę olejową, w szczególności przy stosowaniu tego samego oleju do smarowania przekładni i łożysk.

III. Turbiny przeciwnieprężne i upustowe.

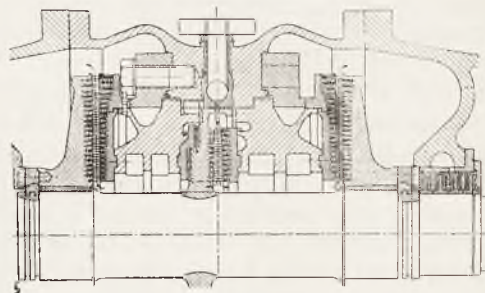
W turbinach tego rodzaju, zwłaszcza przy konieczności uzyskania dużej mocy z pary fabrykacyjnej lub grzejnej, powinno stosować się znacznie wyższe ciśnienie pary dółowej niż w turbinach kondensacyjnych, ograniczone może najwięcej możliwością i kosztami odpowiedniego przygotowania wody zasilającej kotły. Tutaj bowiem tylko część skroplin powraca do kotłowni.

Turbiny przeciwnieprężne wykonywane są zarówno o ustroju osiowym jak i promieniowym. Osiowe typy, budowane prawie wyłącznie jako jednokadłubowe, — dla

mniejszej mocy i dla mniejszego przelotyku pary w połączeniu z przekładnią zębatą, — posiadają analogiczne konstrukcje jak turbiny kondensacyjne. Jedynie celem uzyskania mniejszego zużycia pary przy mniejszych obciążeniach wyposaża się je zwykle w większą liczbę zaworów regulacyjnych, bo w turbinach przeciwnych regulacja możliwie zbliżona do ilościowej przynosi znacznie większe korzyści niż w kondensacyjnych.

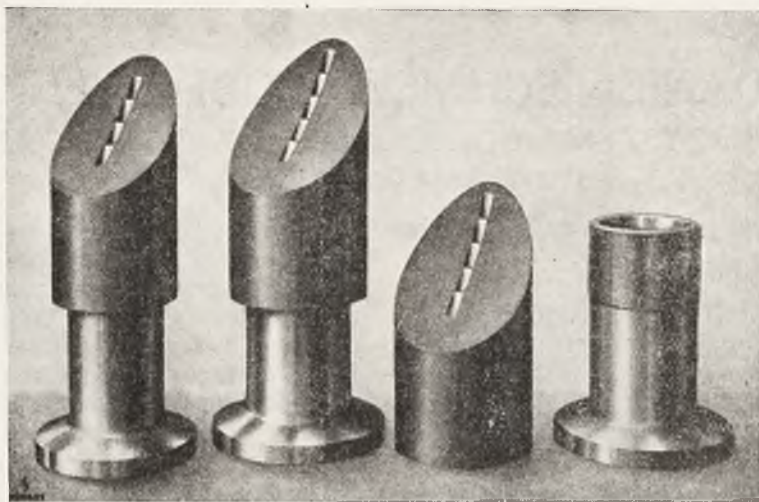
Promieniowe turbiny przeciwnych systemu reakcyjnego, które są polecane przez niektóre firmy jako typy dające się bardzo szybko uruchomić, spotykamy na rynku o dwóch ustrojach. Fabryka *Siemens'a* wprowadziła dla mniejszych spadków adiabatycznych entalpii promieniową turbinę nie przeciwną, więc z nieruchomymi łopatkami kierowniczymi. Dwa z różnorodnych wyko-

nieniu pary dolotowej, a wstawianych w kadłub od zewnątrz, przedstawia rys. 45.



Rys. 44

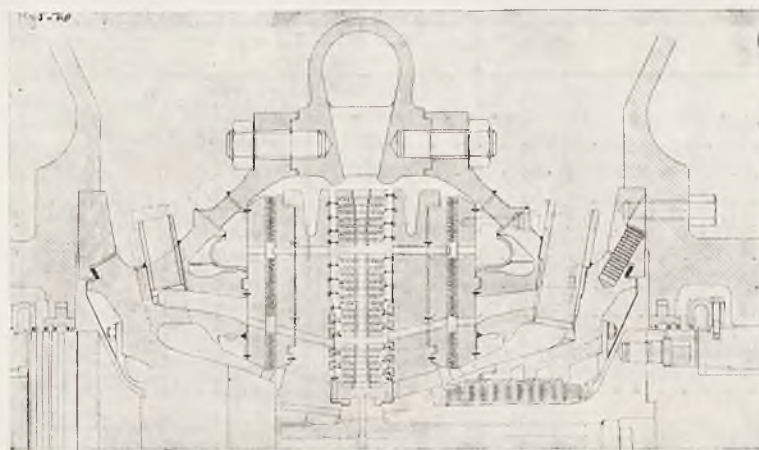
Jako drugi typ przeciwnych turbin promieniowych wymienić należy przeciwną systemu *Ljungstroem'a*, które po-



Rys. 45

nań tej firmy widzimy na rys. 43 i 44. Pierwsze stosuje się dla mocy średniej, drugie — dla bardzo dużej ilości pary przepływającej i mocy 20.000 kW przy $n = 3000 \text{ obr/min}$. Pierwszy stopień tych turbin reakcyjnych jest akcyjny, aby móc zastosować regulację ilościowo - jakościową. Zewnętrzny widok dysz, używanych przy bardzo wysokim ciś-

niem, przedstawia rys. 46. Ze względu na bardzo wysokie ciśnienie pary do — i wylotowej kadłub turbiny posiada małe wymiary i nie jest w osi poziomej dzielony, natomiast jest wstawiony w podzie-



Rys. 46

loną w osi poziomej osłonę, którą tworzy normalny kadłub turbiny kondensacyjnej.

Turbiny upustowe, będące bardzo ważnym działem silników cieplnych, a pracujące z samoczynnie sterowanym odbiorem pary w jednym, dwóch, a nawet trzech miejscach, wykonywane są prawie wyłącznie jako turbiny osiowe. Również w tej dziedzinie przeważa obecnie tendencja do ograniczenia liczby kadłubów do jednego lub dwóch, pomimo stosowania bardzo wysokich ciśnień dołotowych, pomimo konieczności osiągnięcia w wysokoprężnej części bardzo wysokiej sprawności i pomimo komplikacji budowy kadłuba z powodu upustu pary. Naturalnie przy większej liczbie sterowanych upustów trzeba wybrać typ dwukadłubowy.

Ponieważ warunki pracy turbin upusto-

wych są bardzo różnorodne, przeto i ich plany łopatkowe muszą być bardzo różnorodne. Wytwórnice budują je na podstawie zasad przedstawionych dla osiowych turbin kondensacyjnych. Jedynie fabryka *Siemens'a* stosuje dwukadłubowy ustrój, w którym cylinder wysokoprężny posiada promieniowy (nie przeciwbieżne wirniki), a niskoprężny — osiowy przepływ pary.

Wytwórnice, należące do Tow. „*Illunion*”, nie budują turbin upustowych typu promieniowo — przeciwbieżnego, natomiast Tow. *Asea* wykonywa taki typ o jednym upuszcie sterowanym. Z istoty rzeczy wynika, że budowa takiej turbiny musi być skomplikowana; — dotychczas nie jest mi też znana żadna publikacja o pomiarach odbiorczych tego typu.

TYTUS MARYAŃSKI, inż.

SPRAWOZDANIE TECHNICZNE ODDZIAŁU CIEPLNEGO STOWARZYSZENIA DOZORU KOTŁÓW W KATOWICACH.

(Por. *Technika Ciepłna*, 1938, str. 74)

Wskazówki dotyczące jakości wody zasilającej i kotłowej.

Liczby dopuszczalnych wartości analitycznych wody zasilającej i kotłowej są zależne od wielu czynników jak: rodzaju kotła, natężenia powierzchni ogrzewalnej, ciśnienia roboczego, wzajemnego ustosunkowania poszczególnych rodzajów zanieczyszczeń i t. p.,

dlatego też jest trudno uwzględnić te wszystkie możliwe czynniki przy określaniu wielkości dopuszczalnych zanieczyszczeń. Jednak zestawiając wartości uzyskane w praktyce można się zorientować, jaki jest rząd wielkości danego zanieczyszczenia, przy którym nie powinny zachodzić trudności w ruchu kotła. Wartości dopuszczalnych zanieczyszczeń w ten sposób określone podajemy w ta-

T A B E L A II Dopuszczalne ilości składników niepożądanych oraz potrzebne ilości odczynników pożytecznych w wodzie zasilającej i kotłowej.

Ciśnienie robocze w kotle	atn	1 — 15	15 — 25	powyżej 25
Rodzaj kotłów		Płomienicowe, bateryjne, płomieniówkowe i wodnorurkowe	Wodnorurkowe	Wodnorurkowe i opromieniane
Dopuszczalne natężenie pow. ogrzewalnej	kg/m^2h	< 25	< 35	> 35

W o d a z a s i l a j ą c a

$NaHCO_3$	mg/l	—	0 ¹⁾	0 ¹⁾
Twardość poniżej	^o niem	1	0,3	0,1
Tlen O_2 poniżej	mg/l	0,5	0,05	0,03
Na_2CO_3 poniżej	mg/l	120	50	15
Utlenialność (zużycie $KMnO_4$) poniżej	mg/l	100	25	20
SiO_2 poniżej	mg/l	—	10	5
Olej poniżej	mg/l	5	1	1
P_2O_5 (požadany dodatek) około	mg/l	—	3	3
Przy odgazowaniu chemicznym nadmiar winien wynosić:				
Na_2SO_3 około	mg/l	3	8	8

¹⁾ Warunek ten jest spełniony, gdy $2p > m$, gdzie p = alkaliczność względem fenoltaleiny, m = alkaliczność względem oranżu metylowego, oznaczone przez miareczkowanie kwasem solnym.

Ciśnienie robocze w kotle	atn	1 — 15	15 — 25	powyżej 25
Rodzaj kotłów		Płomienicowe, bateryjne, płomieniówkowe i wodnorurkowe	Wodnorurkowe	Wodnorurkowe i opromieniowane

Woda kotłowa

Gęstość	poniżej	⁰ Bé	1 ²⁾	0,5	0,3
Twardość	poniżej	⁰ niem	—	0,3 ³⁾	0,1 ³⁾
Liczba alkaliczności:					
bez dodatku fosforanów		mg/l	200—1000	—	—
z dodatkiem fosforanów ciśn. poniżej 50 at		mg/l	—	100—400	100—400
z dodatkiem fosforanów ciśn. powyżej 50 at		mg/l	—	—	50—100
Utlenialność (zużycie $KMnO_4$)	poniżej	mg/l	500	300	100
SiO_2	poniżej	mg/l	—	—	30
P_2O_5 (pożądany dodatek)	około	mg/l	—	30	30
Przy odgazowaniu chemicznym nadmiar winien wynosić:					
Na_2SO_3	około	mg/l	40	30	30

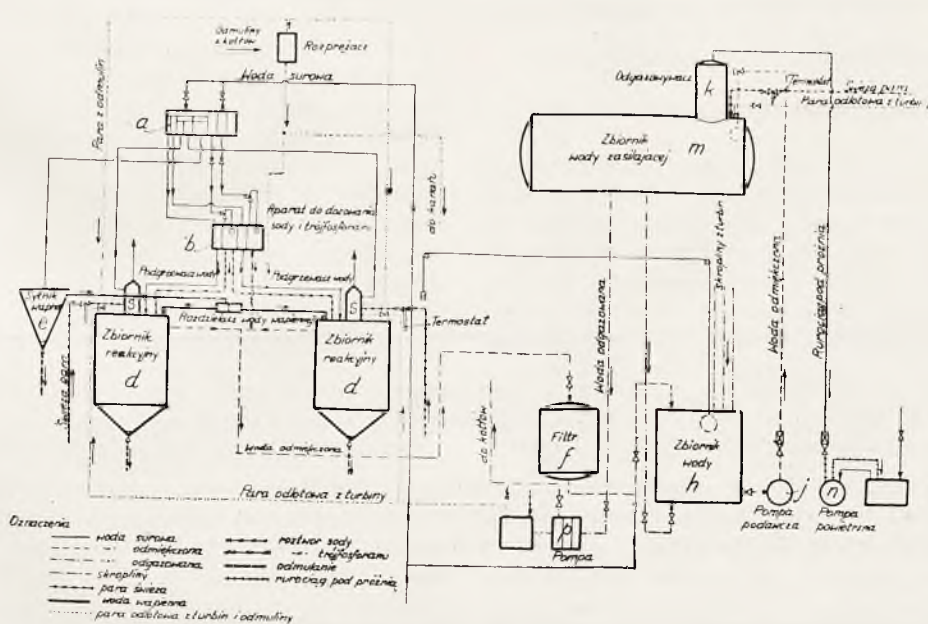
2) W kotłach płomienicowych można utrzymywać gęstość wody do 2⁰Bé, o ile inne wielkości na to pozwalają.
 3) W obecności fosforanów.

beli II. Musimy jednak dodać, iż zaobserwowa-
 aliśmy, że po przekroczeniu wielkości z ta-
 beli nie zawsze występują trudności w ruchu,
 ponieważ pewne czynniki mogły nadać pro-
 cesom w kotle kierunek, unieszkodliwiający
 wpływ danego zanieczyszczenia.

Odbiór instalacji do odmiękczenia i odgazowania
 wody zasilającej.

Schemat instalacji podany jest na rys. 11.
 Woda surowa podawana jest przez pompę
 odśrodkową do zbiornika rozdzielczego *a*,
 skąd własnym ciężarem przelewa się do
 zbiorników reakcyjnych *d* i sytnika wapna *e*,
 przy czym część jej przepływa przez aparat

dawkujący *b*, służący do napędu czerpaków
 chemikalii, a część płynie przez podgrzewa-
 cze *S*, w których miesza się z parą odłotową
 lub świeżą. Do zbiorników reakcyjnych doda-
 wany jest roztwór sody i woda wapienna,
 można też dodawać do wody odmiękczonej
 przed filtrem roztwór trójfosforanu sodu. Od-
 muliny z kotłów mogą być wprowadzane do
 zbiorników reakcyjnych, przy czym redukcja
 ciśnienia odmulin następuje w zbiorniku *r*,
 z odpowiednim układem dysz. Roztwory sody
 i trójfosforanu przygotowywane są w specja-
 lnych przegrodach zbiornika rozdzielczego *a*,
 skąd spływają do aparatu dawkującego *b*,
 w którym pływaki utrzymują stały poziom
 chemikalii. W zbiornikach reakcyjnych woda



Rys. 11. Schemat instalacji do odmiękczenia i odgazowywania wody.

zostaje odmięczona przy temp. ok. $90^{\circ}C$. Odmięczona woda spływa ze zbiorników reakcyjnych do filtra żwirowego f , skąd płynie do zbiornika wody zasilającej h , mieszając się w nim z kondensatem turbinowym. Następnie mieszanina wody odmięczonej i kondensatu podawana jest pompą j przez odgazowywacz k do zbiornika m o pojemności $80 m^3$, gdzie jest podgrzewana parą odlotową z turbopompy zasilającej lub świeżą i odgazowana przy pomocy pompy powietrznej n . Pompa p tłoczy odgazowaną wodę do kotłów.

Gwarancje: Dostawca zagwarantował maksymalną twardość wody zmięczonej $0,4^{\circ}$ niem przy dodawaniu sody i wapna oraz $0,25^{\circ}$ niem przy dodawaniu sody, wapna i trójfosforanu sodu przy temp. wody w zbiorniku reakcyjnym $90^{\circ}C$. Ilość chemikalii potrzebnych do zmięczenia nie była gwarantowana, ponieważ ta zależy od składu chemicznego wody surowej; natomiast dostawca zagwarantował nadmiar chemikalii w odmięczonej wodzie t.j. liczby alkaliczności: $p = 0,9 mval/l$ i $m = 1,5 mval/l$ przy dodawaniu sody i wapna oraz zmięczenie na $0,25^{\circ}$ niem przy dodawaniu oprócz sody i wapna $30 g Na_3PO_4 \cdot 12 H_2O/m^3$. Dostawca zagwarantował, że zawartość tlenu w wodzie odgazowanej przy temperaturze wody $60^{\circ}C$ wyniesie poniżej $0,05 mg/l$.

Próbka wody odmięczonej została pobrana w czasie równowagi chemicznej aparatu odmięczającego.

Wyniki analiz podano w tabeli III.

Jak widać z analizy wagowej wody odmięczonej gwarancje przez dostawcę zostały dotrzymane. Drobnie przekroczenia gwarancji leżą w granicach dokładności samej analizy i w granicach dopuszczalnej tolerancji. Woda odgazowana przy temp. 60° zawierała tlen O_2 w ilości $0,12 mg/l$, zamiast gwarantowanej ilości $0,05 mg/l$.

Badanie odgazowywacza przeprowadzone

w kilka miesięcy później po dłuższych zabiegach dostawcy nie wykazały poprawy.

TABELA III.
Wyniki wagowych analiz wody.

	Rodzaj wody					
	Woda surowa	Woda odmięczona (metoda wapno-soda)	Woda odmięczona (metoda wapno-soda-fosforany)	Woda kotłowa		
Pozostałość na filtrze po prażeniu	mg/l	1,55	—	—	513,0	
Gęstość	$^{\circ}Bé$	—	—	—	0,23	
Pozostałość po wyparce	mg/l	140,6	—	—	1804,8	
$Fe_2O_3 + Al_2O_3$	mg/l	0,2	0,21	0,0	0,8	
CaO	mg/l	37,1	2,96	1,37	7,2	
MgO	mg/l	6,65	0,93	0,58	0,7	
SiO ₂	mg/l	4,6	5,20	2,90	14,0	
Cl	mg/l	14,2	15,98	15,10	411,8	
SO ₃	mg/l	28,12	28,8	—	262,0	
CO ₂ (związane, prócz sody)	mg/l	26,4	—	—	—	
Alkalicz. względem:						
fenofeltaleiny	$p cm^3/100 cm^3$	—	0,9	0,9	7,3	
metyloranżu	$m cm^3/100 cm^3$	—	1,6	1,7	10,2	
Na + Na ₂ O (z obliczenia)	mg/l	21,57	33,32	—	475,26	
NaOH	mg/l	—	8,0	—	176,0	
Na ₂ CO ₃	mg/l	—	74,2	—	307,4	
Liczba alkalicz. =						
= NaOH + $\frac{Na_2CO_3}{4,5}$	mg/l	—	24,5	—	244,3	
P ₂ O ₅	mg/l	—	—	4,5	—	
Utlenialność w mgKMnO ₄ /l	mg/l	20,5	17,4	17,4	61,3	
Twardość	całkowita	$^{\circ}niem$	4,64	0,426	0,218	0,818
	wapniowa	$^{\circ}niem$	3,71	0,296	0,137	7,20
	magnez.	$^{\circ}niem$	0,93	0,130	0,081	0,98
	węglan.	$^{\circ}niem$	3,36	—	—	—
	stała	$^{\circ}niem$	1,28	0,426	0,218	0,818

TREŚĆ: Dr. Inż. R. Szewalski. Zagadnienia rozwojowe w budowie turbin parowych i trubosprężarek. — Prof., Dr., Inż. W. Chrzanowski. Obecnie dominujące kierunki w budowie turbin parowych. — Inż. T. Maryański. Sprawozdanie techniczne Oddziału Ciepłego Stowarzyszenia Dozoru Kotłów w Katowicach.

SOMMAIRE: Dr., Ing. R. Szewalski. Les problèmes d'évolution dans la construction des turbines à vapeur. — Prof., Dr., Ing. W. Chrzanowski. La direction du progrès contemporain dans la construction des turbines à vapeur. — Ing. T. Maryański. L'activité département thermique de la Société pour la Surveillance des Chaudières à Vapeur de Katowice.